

北大工学部 正員 ○武田 覚
 北郷 繁
 土岐 祥介

1. まえがき

土が排水条件のもとで応力を受けた場合に生じる変形と、この土が同じ応力を非排水条件で受けた場合に発生する間ゲキ水圧との相互関係を調べることは工学上有意義であると思われる。

Martin ら (1975)⁴⁾ は非排水条件のもとでせん断応力の載荷・除荷を受けることによって、間ゲキ水圧の増分 Δu は次のように発生すると考えている。排水条件下ではせん断応力によりて体積ヒズミ増分 $\Delta \epsilon_{vd}$ が生じる。一方、非排水条件下では、排水条件下と同様 $\Delta \epsilon_{vd}$ が生じるはずであるが、発生する間ゲキ水圧 Δu による有効応力の減少によって、弾性的な体積ヒズミ $- \Delta \epsilon_{vr}$ が生じて两者が打ち消し合い、土が非圧縮性で体積変化が 0 であるので、

$$\Delta \epsilon_{vd} = -\Delta \epsilon_{vr} \quad \dots \dots \dots (1)$$

したがって、非排水条件下で発生する間ゲキ水圧 Δu は、

$$\Delta u = E_r \cdot \Delta \epsilon_{vd} \quad \dots \dots \dots (2)$$

となる。この式において、 E_r は側方を拘束した圧縮試験機の除荷曲線の接線係数である。

本報告は上記の考え方によったが、三軸圧縮試験機を用いて排水条件で得られた変形から予測される間ゲキ水圧とその実測値を比較したものである。

2. 実験方法

i) 装置：通常用いられている三軸圧縮試験機で、体積ヒズミはピューレットを用い、間ゲキ水圧は圧力変換器を用いて測定した。なお、メンブレンの貫入量の補正是 Roscoe の方法によつて行つた。

ii) 試料：飽和した豊浦砂を使い、初期間ゲキ比：0.660 (Dense) と 0.780 (Loose) の供試体について試験を行つた。なお、間ゲキ圧係数 B は $B = 1$ (0.99 以上) であった。

iii) 実験方法：Martin らは上記 (2) 式における E_r を N.G.I. タイプの単純せん断試験機を使って求めた。しかし、三軸圧縮試験機を用いる場合は (2) 式を考えると、等方圧縮試験の荷重曲線の接線係数を用いなければならない。そこで、この接線係数を求めるために、最大圧縮応力 σ'_c が 2.0, 4.0, 8.0, 16.0 kg/cm^2 で等方圧縮・除荷試験を行つた。また、 ϵ_{vd} を求めるために、圧密圧 $\sigma'_v = 2.0, 4.0, 8.0, 12.0 \text{ kg}/\text{cm}^2$ で圧密した後、排水条件下で各圧密圧の排水強度の 25% のせん断応力を載荷し、等方応力状態にまでして体積ヒズミを測定した。次に、 $\sigma'_v = 2.0, 4.0, 8.0, 12.0 \text{ kg}/\text{cm}^2$ で圧密後、非排水条件で同じく排水強度の 25% のせん断応力を載荷し、等方応力状態にまでした時の残留間ゲキ水圧を測定した。

3. 結果と考察

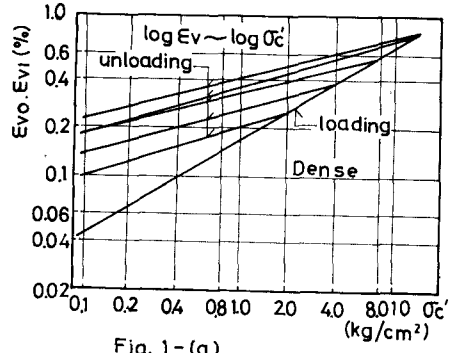


Fig. 1-(a)

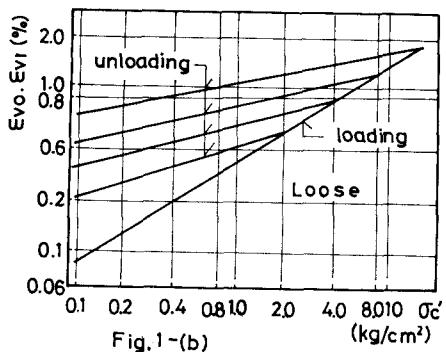


Fig. 1-(b)

	a	A	B
Dense	0.165	0.701	0.244
Loose	0.330	0.728	0.262

図1 (a)-(b) は Dense と Loose 供試体について行った等方応力載荷・除荷試験の応力-体積ヒズミの関係を両対数紙上にプロットしたものである。載荷時の両者の関係は両対数紙上で直線関係になり、載荷時の体積ヒズミ ϵ_{vd} は直線の傾きを A, $\sigma'_0 = 1.0 \text{ kg/cm}^2$ のときの ϵ_{vd} を ϵ , 壓力を σ'_0 とすると、 $\epsilon_{vd} = \alpha \cdot \sigma'_0^A \dots \dots (3)$ で表わされる。

また、各圧密圧からの除荷時の体積ヒズミ ϵ_{re} は互密圧によらずほぼ平行な直線で表わされ、直線の傾きを B とし、圧力が σ'_0 から σ'_i に減少したとすると。

$$\epsilon_{re} = \epsilon_{vd} \cdot (\sigma'_i / \sigma'_0)^B \dots \dots (4) \text{ となる}。$$

したがって、等方応力除荷時の接線係数 K_r は、

$$K_r = \frac{d\sigma'_i}{d\epsilon_{re}} = \frac{\sigma'^{1-B}_i}{\alpha \cdot B \cdot \sigma'^A_0} \dots \dots (5) \text{ となる}。$$

図1 (a)-(b) より、A, A, B の値を求めたのが表(i)である。(2)式を用いて ΔU を推定するために、1サイクルの載荷後に生じる $\Delta \epsilon_{vd}$ が、せん断応力、弾性的軸ヒズミ ϵ_{ie} あるいは塑性的軸ヒズミとどのような関係にあるか調べた。その結果、 ϵ_{ie} との相関が最も高く、図2に示すように $\Delta \epsilon_{vd}$ は ϵ_{ie} とほぼ平行な関係にあることが認められた。一方、間ゲキ水压 ΔU の推定値は。

$$\Delta U = K_r \cdot \Delta \epsilon_{vd}$$

$$= \frac{(\sigma'_i - \Delta U)^{1-B}}{A \cdot B \cdot \sigma'^{A-B}_0} \cdot \Delta \epsilon_{vd} \dots \dots (6) \text{ となる}。$$

ϵ_{ie} と $\Delta \epsilon_{vd}$ の関係から、 ΔU の推定値が ϵ_{ie} を横軸にして、図3 (a)-(b) のように得られる。さらに、非排水条件での ϵ_{ie} (ϵ'_0 とする) と $\Delta \epsilon_{vd}$ (実際には $- \Delta \epsilon_{vd}$ と打ち消しあう) の関係が排水条件下におけるその関係(図2)と同じであると仮定すれば、 ΔU の実測値と ϵ_{ie} との関係を図3 (a)-(b) 上にプロットして、(6)式による推定値と比較することができます。

実測値と推定値を比較すると、推定値がやや大きな値を示しているが、非排水時の供試体の体積変化などの補正を行えば、より実測値に近づくものと思われる。

4. あとがき

単純せん断試験を対象として導出した方法を基にして、三軸圧縮試験における間ゲキ水压の予測を試みた。体積ヒズミから予想される残留間ゲキ水压と測定値は一致しなかつたが、变形直基にした間ゲキ水压予測の可能性が認められた。なお、この研究は昭和57年度文部省科学研究費の補助を受けて行ったもので、実験の実施や整理にあたり昭和51年卒業生、寺山朗君、長谷川純君に多大なる協力を得た記して謝意を表する。

参考文献:(1) Martin, G. R. et al (1975) "Fundamentals of ~" Proc. of ASCE, Vol. 101, No.GT.5, P. 423 ~ 438.

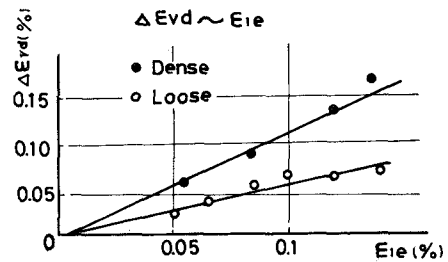


Fig. 2

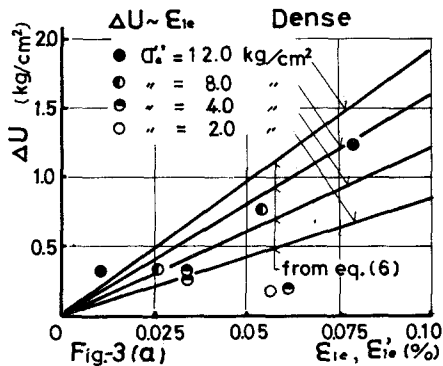


Fig. 3(a)

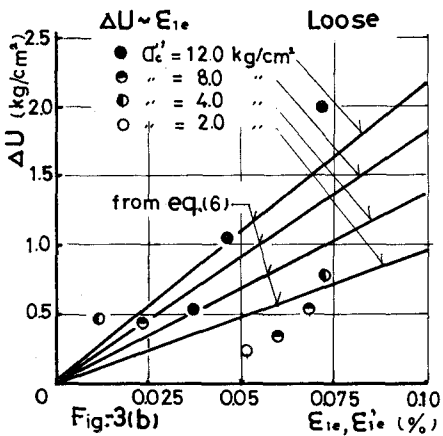


Fig. 3(b)